

非交差線分列挙アルゴリズムについて

古堅真彦* 浅野考平**

*岡山県立大学 デザイン学部 **関西学院大学 理学部

S を平面上の n 点集合, K を端点が S にあるすべての線分の集合とする。
この論文で, K の非交差線分を列挙する $O(n^2)$ アルゴリズムを提案する。

An algorithm for reporting crossing free segments

Masahiko Furukata* Kouhei Asano**

*Faculty of Design, Okayama Prefectural University
Soja, Okayama 719-11, Japan

**Faculty of Science, Kwansei Gakuin University
Nishinomiya, Hyogo 662, Japan

Given a set S of n points in the plane, let K be the set of all line segments whose end points are in S . We present an $O(n^2)$ algorithm to report all crossing free segments of K .

1. 序論

$S = \{p_1, \dots, p_n\}$ を平面上の一般の位置にある点集合, K を S の点を端点とするすべての線分の集合とする。このとき K は、 $n(n-1)/2$ 個の元を持つ。

以下のような問題を考える。

非交差線分列挙問題

入力 : S ,

出力 : K の交差点を持たないすべての元。

K の元の個数が $O(n^2)$ であるので、この問題は $O(n^4)$ 時間の素朴なアルゴリズムによって解くことができる。本論文では非交差線分列挙問題について、 $O(n^2)$ の時間計算量のアルゴリズムが存在することを証明する。以下、最初に第2節において、次の問題を $O(n^2)$ 時間の前処理することによって $O(n)$ で解くアルゴリズムが存在することを証明する。

非交差性判定問題

入力 : S , および K の1個の線分 e ,

出力 : e が、非交差すなわち交差点を持なければtrue, そうでなければfalse。

次に、第3節において、非交差線分列挙問題を $O(n^2)$ で解くアルゴリズムが存在することを証明する。

任意の集合 A の元の数を $\#A$ としてあらわす。平面上の点集合 P のconvex hullを $\text{conv}(P)$ とあらわす。ただし、 $\text{conv}(\{p_s, p_t\})$ を単に $\text{conv}(p_s, p_t)$ とあらわす。また、任意の2点 p_s, p_t に対して p_s, p_t を含むaffine部分空間を $\text{aff}(p_s, p_t)$ であらわす。 S の任意の異なる4点 p_s, p_t, p_u, p_v が、

$$\text{conv}(p_s, p_t) \cap \text{conv}(p_u, p_v) \neq \emptyset$$

であるとき、 $\text{conv}(p_s, p_t)$ と $\text{conv}(p_u, p_v)$ は交差しているといい、それ以外のとき、 $\text{conv}(p_s, p_t)$ と $\text{conv}(p_u, p_v)$ は交差していないといい。 $\text{conv}(p_s, p_t)$ と $\text{conv}(p_u, p_v)$ が交差しているとき、 $\text{conv}(p_s, p_t) \cap \text{conv}(p_u, p_v) = \text{conv}(p_s, p_t) \cup \text{conv}(p_u, p_v)$ の交差点といふ。

S の任意の1点 p_s に対して、 p_s を中心に、 $S - \{p_s\}$ の各元を内部に含まない十分小さな円を

考える。 $I = \{1, \dots, n\}$, $I' = \{1', \dots, n'\}$ とする。

$\text{conv}(p_s, p_j)$ と円周との交点に i とラベルし、 $\text{aff}(p_s, p_j) - \text{conv}(p_s, p_j)$ と円周との交わりを i' とラベルする。 $S - \{p_s\}$ の各点に対して同様に円周上の点にラベルをつけ、円周を反時計回りに一周したときにできる巡回順列を $\rho[p_s]$ とする。

Example 1.1

Figure 1.1のようないくつかの点 p_1, p_2, p_3, p_4, p_5 の場合は、巡回順列 $\rho[p_2]$ は、以下のようになる。

$$\rho[p_2] = <1' \ 3' \ 5 \ 4' \ 1 \ 3 \ 5' \ 4>$$

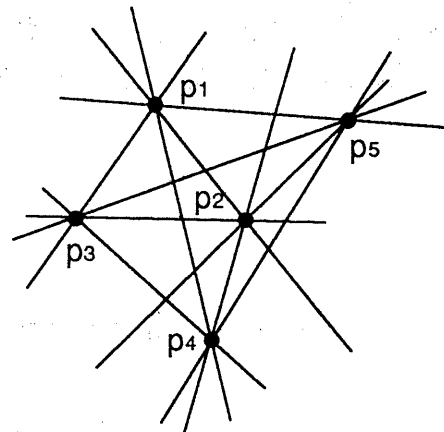


Figure 1.1 Example 1.1に対する図

S , 即ち n 個の点の座標を入力とし、 n 個の $\rho[p_s], s = 1, \dots, n$ を出力とする問題を拡張2次元ソート問題ということにする。

[1]より、

Lemma 1.1

拡張2次元ソート問題を $O(n^2)$ の時間計算量で解くアルゴリズムが存在する

ことがわかる。

2. 非交差性判定問題

前章の拡張2次元ソートを前処理として、以下に、非交差性判定問題に対して $O(n)$ の時間計算量で処理するアルゴリズムについて述べる。

まず、 S の任意の2点 p_s, p_t について、写像 $\rho'[[p_s, p_t]] : \{1, 2, \dots, n-2\} \rightarrow I \cup I' - \{s, s', t, t'\}$ を次のように定義する。 $\rho[[p_s]] = (a_1, \dots, a_{2n-2})$ とし、 $t = a_k$ とする。各*i*, $i = 1, \dots, n-2$, に対して、

$\rho'[[p_s, p_t]](i) = a_{k+i}$ 、但し、添え字は、 $n-2$ を法とする。

と定義する。すなわち、列

$$\rho'[[p_s, p_t]](1), \dots, \rho'[[p_s, p_t]](n-2)$$

は、 $\rho[[p_s]]$ の、 t の次の成分から t' の手前の成分までの部分列である。さらに、写像 $\rho''[[p_s, p_t]] : \{1, 2, \dots, n-2\} \rightarrow \{0, 1\}$ を次のように定義する

$$\rho''[[p_s, p_t]](i) = \begin{cases} 0, & \text{if } \rho'[[p_s, p_t]](i) \in I, \\ 1, & \text{if } \rho'[[p_s, p_t]](i) \in I'. \end{cases}$$

Example 2.1

$\rho'[[p_s, p_t]]$ と $\rho''[[p_s, p_t]]$ の例を示す。

$$\rho[[p_4]] = < 2' 7' 6' 1' 5' 3' 2' 7' 6' 1' 5' 3' >,$$

$$(\rho'[[p_4, p_6]](1), \dots, \rho'[[p_4, p_6]](n-2)) \\ = (1' 5' 3' 2' 7'),$$

$$(\rho''[[p_4, p_6]](1), \dots, \rho''[[p_4, p_6]](n-2)) \\ = (1 1 0 1 0),$$

次に、一般の位置にある3点 p_s, p_u, p_v に対して、

$$\det(p_s p_v, p_u p_v) > 0$$

のとき、 $p_s p_t$ に対して p_u が左側にあるといい、

$$\det(p_s p_v, p_u p_v) < 0$$

のとき、 $p_s p_t$ に対して p_u が右側にあるといふことにする。

Remark 2.1

(i) $I - \{s, t\}$ の任意のuに対して、 $\rho'[[p_s, p_t]](i)=u$ 又はu'である*i*が存在する。

(ii) $\rho'[[p_s, p_t]](i)=u$ である*i*が存在するための必要十分条件は p_s, p_t とは異なる点 p_u に対して、 p_u が $p_s p_t$ の左側にあることであり、 $\rho'[[p_s, p_t]](i)=u'$ である*i*が存在するための必要十分条件は p_s, p_t とは異なる点 p_u に対して、 p_u が $p_s p_t$ の右側にあることである。

Lemma 2.1

S の任意の異なる3点 p_s, p_u, p_v に対して、 $\rho'[[p_s, p_t]](i)=u$ である*i*が存在するための必要十分条件は、 $\rho'[[p_s, p_t]](j)=u'$ である*j*が存在することである。

Lemma 2.2

$p_s p_t$ に対して p_u が左側、 p_v が右側にあるとする。

$$\rho'[[p_s, p_t]]^{-1}(v') < \rho'[[p_s, p_t]]^{-1}(u')$$

が成り立つための必要条件は、

$$\rho'[[p_s, p_t]]^{-1}(v) < \rho'[[p_s, p_t]]^{-1}(u)$$

が成り立つことである。

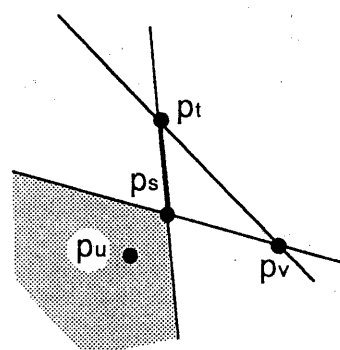


Figure 2.1 Lemma 2.2に対する図

Proof of Lemma 2.2

$$\rho'[[p_s, p_t]]^{-1}(v') < \rho'[[p_s, p_t]]^{-1}(u')$$

であるのは、 $\rho'[[p_s, p_t]]$ の定義より $p_s p_t$ に対して、 p_u が右側にあるときである。(Figure 2.1参照。)

このとき, $p_t p_v$ に対して, p_u が右側にある。さらに, $p_v p_t$ に対して, p_u が右側にあるための必要十分条件は

$$\rho'[\mathbf{p}_t, \mathbf{p}_v]^{-1}(v) < \rho'[\mathbf{p}_t, \mathbf{p}_u]^{-1}(u)$$

が成り立つことである。■

Kの2個の元の交差に関する命題を示す。

Lemma 2.3

S の任意の異なる4点を $\mathbf{p}_s, \mathbf{p}_t, \mathbf{p}_u, \mathbf{p}_v$ とする。 $\text{aff}(\mathbf{p}_s, \mathbf{p}_t)$ に対して, \mathbf{p}_u と \mathbf{p}_v が反対側にあるとき, $\text{conv}(\mathbf{p}_u, \mathbf{p}_v)$ が, $\text{conv}(\mathbf{p}_s, \mathbf{p}_t)$ と交差しないための必要十分条件は, $\text{aff}(\mathbf{p}_s, \mathbf{p}_u)$ に関して, \mathbf{p}_t と \mathbf{p}_v が反対側にあるか, 又は, $\text{aff}(\mathbf{p}_s, \mathbf{p}_v)$ に関して, \mathbf{p}_t と \mathbf{p}_u が反対側にあることである。

$\text{aff}(\mathbf{p}_s, \mathbf{p}_t)$ に対して, \mathbf{p}_u と \mathbf{p}_v が反対側にあるとき, $\text{conv}(\mathbf{p}_u, \mathbf{p}_v)$ が, $\text{conv}(\mathbf{p}_s, \mathbf{p}_t)$ と交差しないのはFigure 2.2の(i)または(ii)の場合に限るので Lemma 2.3が成立するのは明らかである。この補題をいいかえると, 以下のようなLemma 2.4が得られる。

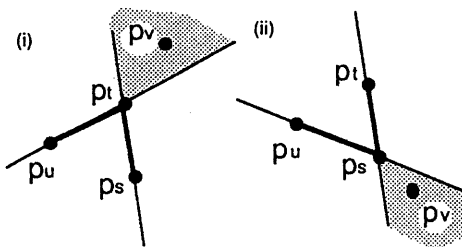


Figure 2.2 Lemma 2.3に対する図

Lemma 2.4

S の任意の異なる4点を $\mathbf{p}_s, \mathbf{p}_t, \mathbf{p}_u, \mathbf{p}_v$ とする。 $\mathbf{p}_s \mathbf{p}_t$ に対して, \mathbf{p}_u が左側, \mathbf{p}_v が右側にあるとき, $\text{conv}(\mathbf{p}_u, \mathbf{p}_v)$ が, $\text{conv}(\mathbf{p}_s, \mathbf{p}_t)$ と交差しないための必要十分条件は,

$$\rho'[\mathbf{p}_s, \mathbf{p}_t]^{-1}(v') < \rho'[\mathbf{p}_s, \mathbf{p}_u]^{-1}(u),$$

が成り立つか, 又は,

$$\rho'[\mathbf{p}_s, \mathbf{p}_t]^{-1}(u') < \rho'[\mathbf{p}_s, \mathbf{p}_v]^{-1}(v)$$

が成り立つことである。

Proof of Lemma 2.4

Remark 2.1の(ii)より, $\mathbf{p}_s \mathbf{p}_t$ に対して \mathbf{p}_u が左側にあり, \mathbf{p}_v が右側にあるための必要十分条件は $\rho'[\mathbf{p}_s, \mathbf{p}_t](j)=u$ である j と $\rho'[\mathbf{p}_s, \mathbf{p}_t](k)=v$ である k が存在することである。

必要性を証明する。 $\text{conv}(\mathbf{p}_s, \mathbf{p}_t)$ と $\text{conv}(\mathbf{p}_u, \mathbf{p}_v)$ が交差しないので, Lemma 2.3より, $\text{aff}(\mathbf{p}_s, \mathbf{p}_t)$ に関して \mathbf{p}_u と \mathbf{p}_v が反対側にあるか, 又は $\text{aff}(\mathbf{p}_s, \mathbf{p}_v)$ に関して \mathbf{p}_u と \mathbf{p}_v が反対側にある場合という2つが考えられる。

$\text{aff}(\mathbf{p}_s, \mathbf{p}_t)$ に関して, \mathbf{p}_u と \mathbf{p}_v が反対側にある場合は, $\mathbf{p}_s \mathbf{p}_t$ に対して \mathbf{p}_u が左側にあり, \mathbf{p}_v が右側にないので, Figure 2.3の領域 Aに \mathbf{p}_v があることになる。故に,

$$\rho'[\mathbf{p}_s, \mathbf{p}_t]^{-1}(v') < \rho'[\mathbf{p}_s, \mathbf{p}_u]^{-1}(u)$$

が成り立つことになる。

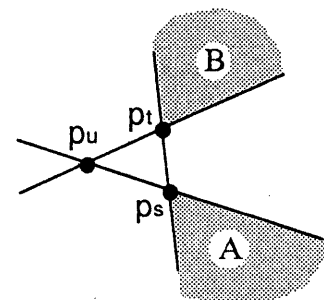


Figure 2.3 Lemma 2.4に対する図

$\text{aff}(\mathbf{p}_s, \mathbf{p}_v)$ に関して, \mathbf{p}_u と \mathbf{p}_v が反対側にある場合も同様に, Figure 2.3の領域 Bに \mathbf{p}_v があることになる。故に, $\rho'[\mathbf{p}_s, \mathbf{p}_v]$ において v は u' の後に現われる。つまり,

$$\rho'[\mathbf{p}_s, \mathbf{p}_t]^{-1}(u') < \rho'[\mathbf{p}_s, \mathbf{p}_v]^{-1}(v)$$

が成り立つことになる。

次に, 十分性を証明する。

$\rho'[\mathbf{p}_s, \mathbf{p}_t]^{-1}(v') < \rho'[\mathbf{p}_s, \mathbf{p}_u]^{-1}(u)$, が成り立つ場合, $\rho'[\mathbf{p}_s]$ の中で, t, t', v, v', u, u' は以下の順序で現われる。

$$\rho[p_s] = \langle \dots, t, \dots, v', \dots, u, \dots, t', \dots, v, \dots, u' \dots \rangle$$

故に, $\rho'[p_s, p_u](j)=t'$ と $\rho'[p_s, p_v](k)=v$ となる j, k が存在するので, Remark 2.1より, $\text{aff}(p_s, p_v)$ に関して, p_t と p_v が反対側にあることになり, Lemma 2.3より, $\text{conv}(p_s, p_t)$ と $\text{conv}(p_u, p_v)$ は交差しない。

$\rho'[p_s, p_u]^{-1}(u') < \rho'[p_s, p_v]^{-1}(v')$ が成り立つ場合, $\rho[p_d]$ の中で, s, s', v, v', u, u' は以下の順序で現われる。

$$\rho[p_d] = \langle \dots, s, \dots, u', \dots, v, \dots, s', \dots, u, \dots, v' \dots \rangle$$

故に, 同様に $\text{aff}(p_t, p_v)$ に関して, p_s と p_v が反対側に現われることになり, Lemma 2.3より, $\text{conv}(p_s, p_t)$ と $\text{conv}(p_u, p_v)$ は交差しない。 ■

Lemma 2.5

$\rho''[p_s, p_d](i) + \rho''[p_u, p_s](i) \neq 1$ を満たす最小の i を j とする。このとき,

$$\rho''[p_s, p_d](j) = \rho''[p_u, p_s](j) = 0$$

である。

Proof of Lemma 2.5

背理法で証明する。 $\rho''[p_s, p_d](j) = \rho''[p_u, p_s](j) = 1$ であると仮定する。 j の最小性より,
 $\#\{i : \rho''[p_s, p_d]=1, 1 \leq i \leq j\} = \#\{i : \rho''[p_u, p_s]=0, 1 \leq i \leq j\}+1$ である。従って, $\rho''[p_s, p_d]^{-1}(v') \leq j$ かつ
 $\rho''[p_u, p_s]^{-1}(v) > j$ である v が存在する。また,
 $\#\{i : \rho''[p_s, p_d]=0, 1 \leq i \leq j\} = \#\{i : \rho''[p_u, p_s]=1, 1 \leq i \leq j\}-1$ であるから, $\rho''[p_s, p_d]^{-1}(u) > j$ かつ $\rho''[p_u, p_s]^{-1}(u') \leq j$ である u が存在する。このとき,

$$\begin{aligned} \rho''[p_s, p_d]^{-1}(v') &< \rho''[p_s, p_d]^{-1}(u), \text{ かつ,} \\ \rho''[p_u, p_s]^{-1}(v) &> \rho''[p_u, p_s]^{-1}(u') \end{aligned}$$

である。これは, Lemma 2.2に矛盾する。 ■

また, Figure 2.4より次のLemmaが成立することがわかる。

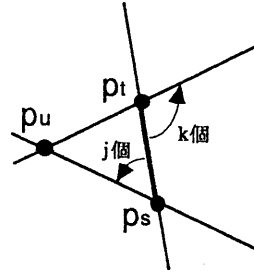


Figure 2.4 Lemma 2.6に対する図

Lemma 2.6

p_u は p_s, p_d の左側にあり, $\rho''[p_s, p_d]^{-1}(u)=j$, $\rho''[p_u, p_s]^{-1}(u')=k$ とする。端点を p_u とし, $\text{conv}(p_s, p_d)$ と交わらない線分の個数は $\#\{i : \rho''[p_s, p_d](i)=1, 1 \leq i < j\} + \#\{i : \rho''[p_u, p_s](i)=0, k < i \leq n-2\}$ である。

以上より Lemma 2.7が得られる。

Lemma 2.7

S の任意の異なる2点 p_s, p_d に対して, $\text{conv}(p_s, p_d)$ が K のどの元とも交差しないための必要十分条件は,

$$\rho''[p_s, p_d](i) + \rho''[p_u, p_s](i) = 1, \quad \text{mod } 2, \quad i = 1, \dots, n-2,$$

が成り立つことである。

Proof of Lemma 2.7

必要性を背理法によって証明する。 $\rho''[p_s, p_d](i) + \rho''[p_u, p_s](i) = 0$ を満たすような最小の i を j とする。Lemma 2.5より, $\rho''[p_s, p_d](j) = \rho''[p_u, p_s](j) = 0$ である。 $\#\{i : \rho''[p_s, p_d]=0, 1 \leq i \leq j\} = \#\{i : \rho''[p_u, p_s]=1, 1 \leq i \leq j\}+1$ であるから, $\rho''[p_s, p_d]^{-1}(u) \leq j$ かつ $\rho''[p_u, p_s]^{-1}(u') > j$ である u が存在する。また同様にして, $\rho''[p_s, p_d]^{-1}(v) \leq j$ かつ $\rho''[p_u, p_s]^{-1}(v') > j$ である v が存在する。故に,

$$\begin{aligned} \rho''[p_s, p_d]^{-1}(u) &< \rho''[p_s, p_d]^{-1}(v'), \text{ かつ,} \\ \rho''[p_u, p_s]^{-1}(v) &< \rho''[p_u, p_s]^{-1}(u') \end{aligned}$$

が成り立ち, Lemma 2.4の対偶より, $\text{conv}(p_s, p_d)$ と $\text{conv}(p_u, p_s)$ は交差することになる。これは,

$\text{conv}(p_s, p_t)$ は、 K のどの元とも交差しない、 という条件に反することになる。

次に十分性を証明する。

(1) p_s, p_t に対して左側にある点の集合を S_l とする。このとき、

$\#S_l = \#\{u : \rho''[p_s, p_t](u)=1\} = \#\{u : \rho''[p_s, p_t](u)=0\}$ である。 $\#S_l$ を n_l とおく。

(2) p_s, p_t に対して右側にある点の集合を S_r とする。このとき、

$\#S_r = \#\{u : \rho''[p_s, p_t](u)=0\} = \#\{u : \rho''[p_s, p_t](u)=1\}$ である。 $\#S_r$ を n_r とおく。

$\text{conv}(p_s, p_t)$ と交わらない線分の個数を数える。 S_l の点どうしを結ぶ線分、 S_r の点どうしを結ぶ線分は $\text{conv}(p_s, p_t)$ と交わらず、 これらの線分の

個数は、 $\binom{n_l}{2} + \binom{n_r}{2}$ である。

次に、 S_l の点と、 S_r の点を結び、 $\text{conv}(p_s, p_t)$ と交わらない線分の個数が $n_l n_r$ であることを示す。 Lemma 2.6 より、 S_l の点 p_u に対して、 $\rho''[p_s, p_u]^{-1}(u) = j$ 、 $\rho''[p_t, p_u]^{-1}(u) = k$ とするとき、 $\#\{i : \rho''[p_s, p_u](i)=1, 1 \leq i < j\} + \#\{i : \rho''[p_t, p_u](i)=0, k < i \leq n-2\}$ を求め、 これらの S_l のすべての点についての総和が、 求めるべき線分の個数である。

この Lemma の仮定より、

$\#\{i : \rho''[p_s, p_u](i)=0, k < i \leq n-2\} = \#\{i : \rho''[p_s, p_u](i)=1, k < i \leq n-2\}$ である。 $n_l = \#\{u : \rho''[p_s, p_u](u)=1\}$ かつ $n_r = \#\{u : \rho''[p_t, p_u](u)=0\}$ であるから。

上記の総和は $n_l n_r$ である。

故に、 $\text{conv}(p_s, p_t)$ と交わらない線分の個数は

$$n_l n_r + \binom{n_l}{2} + \binom{n_r}{2} = \binom{n}{2}$$

である。従って、 $\text{conv}(p_s, p_t)$ は他のどの線分とも交差しない。 ■

Algorithm 2.1

入力 : S , $\rho[p_s]$, $\rho[p_t]$

出力 : K の他の元に対して、 $\text{conv}(p_s, p_t)$ が非交差であるならば true, そうでなければ false.

begin

$\rho[p_s], \rho[p_t]$ から $\rho'[p_s, p_t]$, $\rho''[p_s, p_t]$ を決定する;

$\rho'[p_s, p_t], \rho''[p_s, p_t]$ から $\rho''''[p_s, p_t], \rho'''[p_s, p_t]$ を決定する;

 for $i := 1$ to $n-2$ do

```
if  $\rho''''[p_s, p_t](i) + \rho'''[p_s, p_t](i) > 1$  then
    return false;
return true;
end.
```

Lemma 2.8

Algorithm 2.1 は、 非交差性判定問題を $O(n)$ の時間計算量で解く。

Proof of Lemma 2.8

$\rho''[p_s, p_t]$ と $\rho''[p_t, p_s]$ は、 共に長さが $n-2$ で、 それぞれの各成分は、 一定時間内で $\rho[p_s]$ と $\rho[p_t]$ から決定できるので、 $\rho''[p_s, p_t]$ と $\rho''[p_t, p_s]$ は、 $O(n)$ の時間計算量で決定できる。また、 $\rho''[p_s, p_t]$ と $\rho''[p_t, p_s]$ から $\rho''''[p_s, p_t]$ と $\rho'''[p_s, p_t]$ を $O(n)$ の時間計算量で決定できることは明白である。for 文は、 $n-2$ 回のループを行ない、 その中の if 文は一定時間内に処理できるので、 $O(n)$ の時間計算量で終了する。Lemma 2.7 より、 この for 文によって $\text{conv}(p_s, p_t)$ が非交差であるか否かを判定できることは明らかである。故に、 Lemma 2.8 が成り立つ。 ■

Theorem 2.1

平面上の点集合 S に対して適当な $O(n^2)$ の時間計算量の前処理を施せば、 S の点を端点とする任意の線分に対する非交差性判定問題を $O(n)$ の時間計算量で解くアルゴリズムが存在する。

Proof of Theorem 2.1

Lemma 1.1 と Lemma 2.8 より、 拡張 2 次元ソートを S に対する前処理と考えると、 非交差性判定問題を $O(n)$ の時間計算量で解くアルゴリズムが存在する。 ■

3. 非交差線分列挙問題

S の任意の部分集合 P に関して、 P の convex hull, $\text{conv}(P)$ の境界である多角形の頂点集合を 反時計回りの順にならべて、 その列を巡回リストにする。すなわち、 境界の p に対して、 反時計回りに次の頂点を $\text{succ}(p)$ とし、 時計回りに次の頂点を $\text{pred}(p)$ とする。

以下、 S を入力し、 S を端点に持つ線分の集合 K の非交差線分を列挙するアルゴリズム

を構成する。

Algorithm 3.1 (候補となる線分の集合 K_0 を求める。)

begin

S の各点を x 座標の昇順にソートし、その列を (q_1, q_2, \dots, q_n) とする；

```

succ( $q_1$ ) :=  $q_2$ ; pred( $q_1$ ) :=  $q_2$ ;
succ( $q_2$ ) :=  $q_1$ ; pred( $q_2$ ) :=  $q_1$ ;
 $K_0$  := {conv( $q_1, q_2$ )};

```

for $i := 3$ to n do begin

$s := q_{i-1}$;

$K_0 := K_0 \cup \{\text{conv}(q_i, s)\}$;

while succ(s)が $q_i s$ に対して右にある do
begin

$s := \text{succ}(s)$;

$K_0 := K_0 \cup \{\text{conv}(q_i, s)\}$;

end;

$t := q_{i-1}$;

while pred(t)が $q_i t$ に対して左にある do
begin

$t := \text{pred}(t)$;

$K_0 := K_0 \cup \{\text{conv}(q_i, t)\}$;

end;

pred(s) := q_i ; succ(q_i) := s ;

succ(t) := q_i ; pred(q_i) := t ;

end;

end.

ここで、for文の $i=k$ のときにたどられた点の集合を L_k とする。 L_k は、 $\text{conv}\{q_i : 1 \leq i \leq k\}$ の点から $\text{conv}\{q_i : 1 \leq i < k\}$ の点を除いてできた集合である。

Lemma 3.1

$K - K_0$ の各線分は他の線分と交差する。

Proof of Lemma 3.1

$\text{conv}(q_j, q_k)$, $j < k$ が $K - K_0$ の線分であるとする。

s, t を、上のアルゴリズムの $i = k$ について実行されたときの最後の s, t の値とすると、 $\text{conv}\{q_i : 1 \leq i < k\}$ は、 $q_k s$ の左側、 $q_k t$ の右側にあ

る。 q_j は L_k に属さず、 $q_k q_j$ の左側および右側に L_k の点が存在するので、 $\text{conv}(q_k, q_j)$ と交差する線分が存在する。 ■

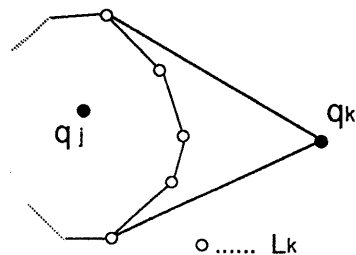


Figure 3.1 Lemma 3.1に対する図

Lemma 3.2

$\#K_0 = O(n)$ が成り立つ。

Proof of Lemma 3.2

$\#K_0 = \sum \{\#L_k : 3 \leq k \leq n\}$ である。また、 $i \neq j$ ならば $\#(L_i \cap L_j) \leq 2$ である。従って、 $\bigcup \{L_k : 3 \leq k \leq n\} \subseteq S$ であることより、 $\#K_0 \leq 3n - 6$ である。 ■

Algorithm 3.1を用い、非交差線分である可能性のある線分の集合 K_0 を求め、前処理の後、 K_0 に属する各線分についてAlgorithm 2.1を用いて非交差性を判定すれば、非交差線分を列挙できる。この方法の時間計算量は、 $O(n^2)$ である。

Bibliography

- [1] Gunther Rote, Gerhard Woeginger, Counting convex k -gons in planar point sets, Inform. Process. Lett. 41 (1992), 191-194.